

(V-4) 混合剤によって大径粗骨材コンクリートの強度低下を軽減する実験(第2報 リフト60cm)

足利工業大学 正会員 青戸 章 ○松村仁夫 正会員 黒井登起雄

**1. 実験の目的** 粗骨材の最大寸法を大きくすると、上昇するブリージング水が粗骨材の下面に滞留し、その部分が空洞となって、強度を低下させる傾向がある。前報<sup>1)</sup>ではリフトを30cmとし、混合剤でワーカブルにしてブリージングを少なくすることによって、強度低下をどの程度軽減できるかを究明した。今回はリフトを60cmとし、他の実験要因も取上げて、前報で成績の良かった2種類の混合剤の効果を使用しない場合と比較した。 $\phi 15 \times 60\text{cm}$ 縦打ち型わくで供試体を作成し、上下に2分割した $\phi 15 \times 30\text{cm}$ 供試体で圧縮強度、上中下に3分割した $\phi 15 \times 20\text{cm}$ 供試体で動弾性係数を測定した。

表1 示方配合と練りまぜ直後の実測値  
2. 実験要因と水準 実験要因とその水準を次のように選んだ。

配合番号	示 方 配 合						実測値 スランプ cm	空気量 %				
	A 最大寸法 mm	B スランプ cm	C 水セメント比 %	D 混和剤の種類 %	単位量 ( $\text{kg}/\text{m}^3$ )							
					水	セメント	粗骨材	混和剤				
A: 粗骨材の最大寸法 A1:15mm A2:40mm	1	15	5	45 なし	51	177	393	820	907	—	4.0	2.2
B: スランプ B1: 5cm B2:15cm	2	15	5	45 なし	47	187	288	921	867	—	5.2	3.0
C: 水セメント比 C1:45% C2:65%	3	15	5	45 なし	51	206	317	884	833	—	14.8	3.0
D: 混和剤の種類 D1:なし D2:減水剤 D3:AE減水剤	4	15	5	45 なし	45	168	373	751	900	1.118	5.8	4.0
圧縮強度の分析には要因E、動弾性係数にはFが追加される。	5	15	5	45 なし	49	176	271	848	865	0.813	5.7	5.4
なお混和剤の添加量は、共にカタログに示された使用量の上限	6	15	5	45 なし	45	173	384	740	887	1.152	14.8	4.1
の約70% (セメント100kgあたり0.3ℓ) の一定量とした。	7	15	5	45 なし	49	188	289	826	843	0.887	16.0	3.3
E: 供試体の上下半 E1:下半 E2:上半	8	15	5	45 なし	44	184	364	742	926	1.092	5.4	3.7
F: 供試体の上中下 F1:下 F2:中 F3:上	9	15	5	45 なし	48	176	258	845	898	0.774	4.7	4.0
3. 使用材料 セメントはC社製の普通ポルトランドセメント、細骨材は鬼怒川産の川砂(比重2.60、吸水率1.99%、FM 2.99)、粗骨材は同産の川砂利(最大寸法15mmは2.58、1.93%、6.51、40mmは2.59、2.31%、7.49)(粗骨材の粒度を図1に図示)、混和剤はN社製のNo.200とNo.70を用いた。	10	15	5	45 なし	49	174	387	723	902	1.161	15.1	4.8
4. 実験方法 配合は試し練りにもとづいて決定し、A×B×	11	15	5	45 なし	49	184	283	816	866	0.849	15.1	5.2
C×Dの各水準の組合せで表1に示す24種類とした。100ℓの可傾式ミキサで全材料を投入してから3min練りまぜ、その直後にスランプと空気量を測定し(表1に併記)、 $\phi 15 \times 60\text{cm}$ 縦打ち型わくで圧縮供試体3個と動弾性係数測定用供試体3個、計6個ずつを作成した。コンクリートを1層に詰めてテーブル振動機で15~20s締固めた。材令2日で脱型、28日まで20±3℃の水中で養生した。材令7日で供試体を2分割、3分割し、動弾性係数は材令28日まで途中材令でも測定し、圧縮強度は28日に測定した。	12	15	5	45 なし	36	172	382	632	1179	—	5.8	1.5
5. 実験結果 5.1 ブリージング ブリージング時間(min)の分散分析表(24データ)は省略したが、A、B、D、A×B、A×Dが有意となった。AとBの効果を図2、AとDの効果を図3に示した。A2の方がA1よりブリージング時間が短いが、A2の方が元来単位水量が少ない上に、ブリージング	13	15	5	45 なし	39	174	267	726	1156	—	5.8	1.5
グ水が粗骨材の下面に滞留して上昇できなくなるためと考えられる。A2ではスランプの大小による差はないが、A1ではスランプが大きいと長くなっている。これはA1における単位水量の差が大きく影響したものと考えられる。またD1ではA1とA2の間に大きな差はないが、D2とD3では大きな差があり、これは元来凝結遅延性のある混合剤の添加量がA1の方が多いためではないかと考えられる。	14	15	5	45 なし	34	193	429	580	1135	—	15.8	1.3
図2 要因A、Bとブリージング時間の関係	15	15	5	45 なし	38	179	275	710	1188	—	15.7	0.8
図3 要因A、Dとブリージング時間の関係	16	15	5	45 なし	52	143	319	589	1232	0.957	4.8	1.5
図4 要因A、Cとブリージング量の関係	17	15	5	45 なし	38	148	225	688	1234	0.875	4.2	1.8
図5 要因B、Cとブリージング量の関係	18	40	5	45 なし	32	155	344	573	1225	1.032	16.2	1.5
図6 要因D、Cとブリージング量の関係	19	40	5	45 なし	38	148	228	685	1228	0.884	16.0	1.9
図7 要因A、Dと動弾性係数の関係	20	40	5	45 AE減	31	142	316	572	1284	0.948	5.2	3.6
図8 要因A、Cと動弾性係数の関係	21	40	5	45 AE減	35	146	225	669	1252	0.875	5.8	3.7
図9 要因A、Bと動弾性係数の関係	22	40	5	45 AE減	31	159	353	549	1332	1.059	14.9	1.5
図10 要因B、Cと動弾性係数の関係	23	40	5	45 AE減	35	159	245	651	1218	0.735	15.7	1.6
図11 要因D、Cと動弾性係数の関係	24	40	5	45 AE減	—	—	—	—	—	—	—	—

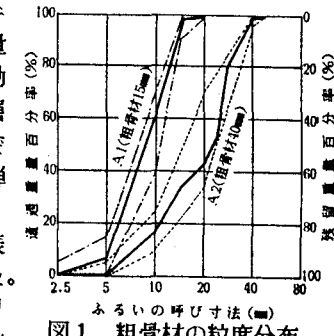


図1 粗骨材の粒度分布

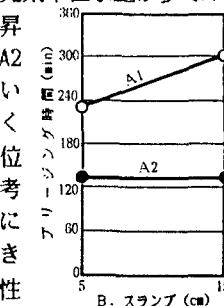


図2 要因A、Bとブリージング時間の関係

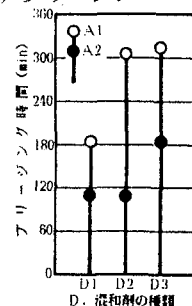


図3 要因A、Dとブリージング時間の関係

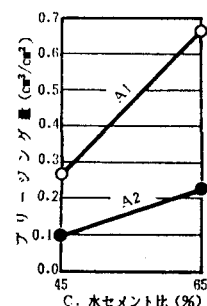


図4 要因A、Cとブリージング量の関係

粗骨材が粗骨材の下面に滞留して上昇できなくなるためと考えられる。A2ではスランプの大小による差はないが、A1ではスランプが大きいと長くなっている。これはA1における単位水量の差が大きく影響したものと考えられる。またD1ではA1とA2の間に大きな差はないが、D2とD3では大きな差があり、これは元來凝結遅延性のある混合剤の添加量がA1の方が多いためではないかと考えられる。

図2 要因A、Bとブリージング時間の関係

図3 要因A、Dとブリージング時間の関係

図4 要因A、Cとブリージング量の関係

ブリージング量 ( $\text{cm}^3/\text{cm}^2$ ) では A, C が有意となった。A と C の効果を図 4 に示した。A2 の方が A1 よりブリージング量が少ないが、ブリージング時間と同様の理由によるものと考えられる。また、A1, A2 共に W/C 65% の方が 45% の 2 倍以上となっており、凝結・水和に余剰の水がブリージング水になることを示しているものと考えられる。ブリージング率 (%) は、ブリージング量と全く同様の傾向を示したので、省略した。

**5.2 圧縮強度** 材令 28 日の圧縮強度 ( $\text{kgf/cm}^2$ ) の分散分析表を表 2 に示した。交互作用の分析は 1 次のみとしたが、その分散が小さいものは省略して誤差分散に含めてある（表 3 も同様）。A と B と C の効果を図 5 に示した。A2 の方が A1 より強度が低いのは、

表 2 圧縮強度の分散分析表

要因	DF	SS	MS	F
A	1	13 3712	13 3712	137.87***
B	1	3 7120	3 7120	38.28***
C	1	120 5604	120 5604	1243.12****
D	2	9356	4678	4.82***
E	1	9152	9152	9.44***
A × B	1	4160	4160	4.29*
A × D	2	2 0114	1 0057	10.37***
A × E	1	5451	5451	5.62*
B × C	1	3 2100	3 2100	33.10***
B × D	2	1 1518	5759	5.94***
C × D	2	1 0963	5496	5.67***
誤差	128	12 4137	969	-
計	143	160 3421	-	-

W/C が小さい方が強度が高いのは当然である。また W/C 65% ではスランプの大小による影響は小さいが、45% ではスランプが大きくなると強度が低下することを示しており、これは図 4 のように 65% ではブリージングで失われる水が多いのでスランプ（単位水量）の影響が小さくなるのに対して、45% では失われる水が少ないのでスランプの影響が大きく現れたものと考えられる。

A と D の効果を図 6 に示した。A1 で D2 と D3 の強度が D1 より若干低いが、連行空気量の多少によるものと考えられる。しかし A2 では逆に D2 と D3 の方が D1 より強度が高くなっている。混和剤でワーカブルにしたことによって粗骨材の最大寸法が大きい場合の強度低下を軽減することができたものと考えられる。A1 に対する A2 の強度比は、平均して D1

が 77, D2 が 88, D3 が 90% である。

A と E の効果を図 7 に示した。A1, A2 共に上半の方が強度が低いが、その差は A2 ではなく A1 では小さく A1 では大きい。これは図 6 のように、A1 ではブリージング水の上昇が多くて、上半の単位水量と W/C が大きくなっているのに対して、A2 では粗骨材下面にブリージング水が滞留してその上昇が少なくなるので、上半の強度低下が軽減されたものと考えられる。下半に対する

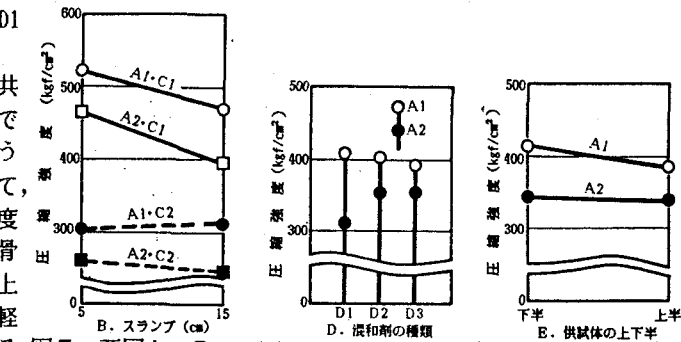


図 5 要因 A, B, C と圧縮強度の関係

### 5.3 動弾性係数

前報では  $\phi 15 \times 30 \text{ cm}$  に作成して上中下に 3 分割した  $\phi 15 \times 10 \text{ cm}$  供試体で動弾性係数を測定したが、高さが直径より小さい供試体では 1 次共鳴振動数が必ずしも明瞭に測定できなかった。今回は  $\phi 15 \times 60 \text{ cm}$  に作成して 3 分割した  $\phi 15 \times 20 \text{ cm}$  供試体で測定したので明瞭に測定できた。材令 28 日の動弾性係数 ( $10^4 \text{ kgf/cm}^2$ ) の分散分析表を表 3 に、A と C の効果を図 8 に示した。A2 の動弾性係数が A1 より僅かに大きく、図 5～7 の強度の大小とは全く逆となっている。これは、A2 の方が動弾性係数の大きい粗骨材の単位量が多いので、この単位粗骨材量の影響の方が強度の影響より大きく作用したものと考えられる。しかし W/C の大小による差は明瞭に示しているので、単位粗骨材量が同程度であれば、W/C による強度の差を動弾性係数で推定できることを示すものと考えられる。全般的に見ると、表 2 と表 3 を比較してもわかるように、動弾性係数は強度の僅かな差（たとえば供試体の上下の強度の僅かな差、等）を鋭敏に反映するものではないが、その適用限界をわきまえて利用すれば、強度の時系列的な変化を非破壊的に判断する場合等には適しているように考えられる。

文献 1) 齋戸、松村、黒井：混和剤によって大径粗骨材コンクリートの強度低下を軽減する実験、土木学会関東支部第18回技術研究発表会講演概要集、March 1989, p.202～203

表 3 動弾性係数の分散分析表

要因	DF	SS	MS	F
A	1	94.34	94.34	54.02***
B	1	0.03	0.03	0.02
C	1	855.18	855.18	489.68****
D	2	49.94	24.97	14.30***
E	2	6.00	3.00	1.72
A × C	1	3.91	3.91	2.24
C × D	2	16.39	8.19	4.69**
誤差	205	358.01	1.74	-
計	215	1383.82	-	-

図 6 要因 A, D と圧縮強度の関係

図 7 要因 A, E と圧縮強度の関係

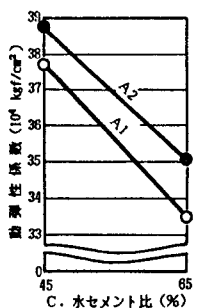


図 7 要因 A, E と圧縮強度の関係

図 8 要因 A, C と動弾性係数の関係

図 8 要因 A, C と動弾性係数の